

14. Gutknecht J. // J. Membrane Biol. — 1981. — 61. — P.61-66.
15. Brahm J., Funder J. and Gasbjer P.K. Eleventh school on biophysics of membrane transport // Poland, May 4-13, 1992. — Part 1. — P.9-38.
16. Malone J.G.// J. Chem. Phys. — 1933. — Vol.1. — P.197.
17. Gordon L. Jendrasiak , Harry E. Lyon // Biophys.J. — 1969. — Vol.9. — P.31.
18. Li Q.M., Liu Q., Wei X.J. // Talanta. — 1996. — Vol.43. — № 11. — P.1837-1842
19. Маркин В.С., Чизмаджев Ю.А. Индуцированный ионный транспорт. — М.: Наука, 1974. — 252 с.
20. Содержание тиоловых групп в сыворотке крови и в ткани опухоли крыс с интактным и радиорезистентным вариантами карциномы герена / В.А. Баратой, Г.И. Кулик, В.А. Зинченко, В.И. Коронь // Укр. биохим. журн. — 1996. — Т.68. — № 1. — С.61-66.

Поступила в редакцию 07.02.2000

УДК 543.062

## СПЕКТРОФОТОМЕТРИЧЕСКИЙ МЕТОД ОПРЕДЕЛЕНИЯ АКТИВНОГО ХЛОРА В ВОДАХ С ПРИМЕНЕНИЕМ ХЛОРФЕНОЛОВОГО КРАСНОГО

*Е.Ю. Колос, И.Л. Плаксиенко, К.С. Бурмистров, Ф.М. Тулюпа*

Украинский государственный химико-технологический университет, г. Днепропетровск

Разработана методика определения активного хлора фотометрированием продукта бромирования хлорфенолового красного соединениями брома, образующимися в результате взаимодействия KBr с  $\text{HClO}$ ,  $\text{ClO}^-$ ,  $\text{Cl}_2$ , неорганическими хлораминами. Установлены оптимальные условия индикации аналитического сигнала. Определяемый минимум активного хлора составляет 0,15 мг/л.

Фотометрические методы определения малых количеств активного хлора имеют очень важное значение для анализа хлорируемых вод. Определение свободного ( $\text{HClO}$ ,  $\text{ClO}^-$ ,  $\text{Cl}_2$ ) и связанного ( $\text{NH}_2\text{Cl}$ ,  $\text{NHCl}_2$ ,  $\text{NCl}_3$ ) активного хлора этими методами основано на реакциях окисления индикаторов либо с образованием окрашенных форм, либо с их разрушением. В качестве окисляющихся органических соединений используют кислотно-основные индикаторы (метиловый оранжевый, метиловый красный), а также обратимые и необратимые окислительно-восстановительные индикаторы, такие как диметил- и диэтил-*p*-фенилендиамин, бензидин, 3,3'-диметилнафтидин и 3,3'-диметилнафтидинсульфокислоту, о-толидин [1–3].

В случае применения метилового оранжевого и метилового красного [1] оптическая плотность раствора индикатора линейно уменьшается при добавлении окислителя. Интенсивность окраски реагентов зависит от pH раствора и оптимальна в кислых средах (при pH 2–3). Существенное влияние на окраску растворов оказывают условия и порядок смешивания растворов. В случае использования метилового оранжевого закон Бера выполняется в интервале концентраций хлора 0,04–1,00 мг/л, для метилового красного – 0,06–0,80 мг/л. Метод дает возможность определить содержание

свободного активного хлора в присутствии хлораминов [4].

Из числа окислительно-восстановительных индикаторов для определения гипохлорита можно применить бензидин и его производное о-толидин (3,3'-диметилбензидин). В связи с тем, что обнаружены канцерогенные свойства бензидина, этот метод нежелательно рекомендовать для практических целей [2]. Легко окисляется хлором о-толидин с образованием желтого продукта, интенсивность и оттенок окраски которого в значительной степени зависят от кислотности раствора. При pH 1,6 растворы подчиняются закону Бера в пределах концентраций хлора 0–1,0 мг/л [3]. Высокой чувствительностью к хлору обладают 3,3'-диметилнафтидин и 3,3'-диметилнафтидинсульфокислоту, определяемый минимум 0,04–0,05 мкг/мл [1]. Преимущество последней заключается в хорошей ее растворимости в воде. Продукт окисления имеет яркую малиновую окраску ( $\lambda=540$  нм), возникающую в кислой среде (pH 1–3). Окраска устойчива в течение 10 мин.

Диметил- и диэтил-*p*-фенилендиамин окисляются хлором с образованием продуктов красного цвета. Диэтил-*p*-фенилендиамин образует соединение с большей устойчивостью окраски (0,5 час) [1]. Метод с диэтил-*p*-фенилендиамином

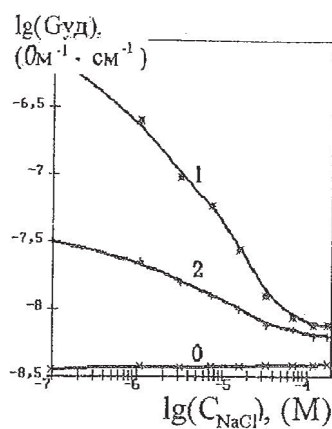


Рис. 6. Изменение удельной проводимости БЛМ, сформированной в бидистилляте (0) и модифицированной  $1,6 \cdot 10^{-4}$  М  $\text{HgBr}_2$  (1) и  $6 \cdot 10^{-3}$  М  $\text{HgCl}_2$  (2), при добавлении  $\text{NaCl}$

внешней поверхности мембранны, прошедшими через мембрану и адсорбированными на внутренней ее поверхности.

Дальнейшее добавление хлорид-ионов приводит к снижению удельной проводимости до уровня немодифицированной мембранны ( $\lg G_{\text{уд}} = -8,4$ ). Это опровергает предположение, сделанное авторами работы [18], что аномальный транспорт ионов  $\text{Hg}^{+2}$  (по сравнению с  $\text{Cu}^{+2}$ ,  $\text{Zn}^{+2}$ ,  $\text{Fe}^{+2}$ ,  $\text{Co}^{+2}$ ,  $\text{Ni}^{+2}$ ,  $\text{Pb}^{+2}$ ,  $\text{Mn}^{+2}$  и  $\text{Cd}^{+2}$ ) через жидкую эмульсионную мембрану из 3-n-октиламина в растворителе Span 80 определяется ионом  $\text{HgCl}_4^{-2}$ . При увеличении концентрации  $\text{NaCl}$  в растворе, омывающем мембрану, происходит увеличение концентрации солей ртути, начинающей влиять на проводимость мембранны. Так, при изменении концентрации  $\text{NaCl}$  в растворе от 0 до 0,1 М, концентрация  $\text{Hg}(\text{NO}_3)_2$ , начинающая влиять на проводимость мембранны, возрастает более чем на 2 порядка.

Из совокупности приведенных данных можно заключить, что проводимость мембранны при добавлении галогенидов ртути (II) определяется концентрацией ионов  $\text{HgHal}^+$ , которые адсорбируются на мембране и проходят через нее. Линейная зависимость проводимости мембранны от концентрации и постоянство мембранныного потенциала при постоянном соотношении концентраций иона по обе стороны мембранны подтверждает механизм прямого прохождения иона через мембрану, описанный в книге В.С. Маркина и Ю.А. Чизмаджева [19]. В ряду галогенид-ионов усиление полярности связи  $\text{Hal}^- - \text{Hg}^{+2}$  приводит к ослаблению влияния на проводимость бислойной липидной мембранны.

Концентрация ионов  $\text{HgHal}^+$  и, как следствие, проводимость БЛМ уменьшается при увеличении концентрации  $\text{Cl}^-$  ионов в растворе. При концентрации  $\text{Cl}^-$ , соответствующей физиологическому раствору, проводимость мембранны определяется концентрацией ионов  $\text{HgCl}^+$  независимо от добавляемой соли ртути.

Интересно, что прохождение ионов  $\text{HgHal}^+$

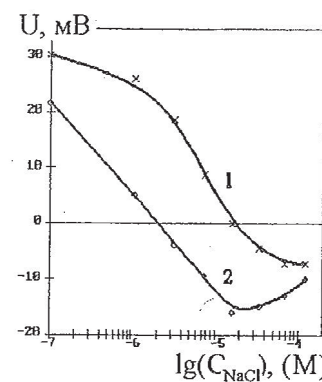


Рис. 7. Изменение мембранныго потенциала БЛМ, сформированной в бидистилляте и модифицированной  $1,6 \cdot 10^{-4}$  М  $\text{HgBr}_2$  (1) и  $6 \cdot 10^{-3}$  М  $\text{HgCl}_2$  (2), при добавлении  $\text{NaCl}$

через мембрану внутрь клетки усиливается, если в клетке присутствуют связывающие ртуть ионы или функциональные группы (например, тиольные). Это, в частности, объясняет усиленное воздействие солей ртути на раковые и другие клетки, в которых возрастает количество молекул, содержащих доступные SH-группы [20].

#### СПИСОК ЛИТЕРАТУРЫ

- Химический состав пищевых продуктов. Справ. — М.: Пищ. пром., 1979. — 142 с.
- Уильямс Д. Металлы жизни. — М.: Мир, 1975. — 236 с.
- Nahar S., Tajmiriahi H. // Jurnal of colloid and interface science. — 1996. — № 2. — P.648-656
- Машковский М.Д. Лекарственные средства: В 2-х частях. — Ташкент: Медицина, 1987. — 576 с.
- Патент RU N2012346, МКИ<sup>4</sup> A61K 35/78, A61K 33/28. Воробьева Т.В. // Опуб. 15.05.94, БИ № 9.
- Воробьева Т.В. // Материалы международного симпозиума «Витурид. Роль ртути в жизнедеятельности организма». — Петрозаводск, 1995. — С.6-16.
- Давыдова С.Л. // В кн. Ионы металлов в биологических системах. — М.: Мир, 1982. — 165 с.
- Blaustein R. O., Finkelstein A. // Biochem. et Biophys. Acta. 1988. — Vol.946. — № 2. — P.221-226.
- Paiement J., Joly L.P. // Biochem. et Biophys. Acta. — 1985. — Vol.816 (M129). — № 1. — P.179-181.
- Кульский Л.А., Савлук О.С., Дайнега Е.Ю. Связь жизнедеятельности бактерий с их электрокинетическим и мембранным потенциалами // Докл. АН СССР. — 1985. — Т.282. — № 1. — С.187-190.
- Mueller P., Rudin D.O., Tien H.T., Wescott W.C. // Recent Progress in Surface Science. — N.Y., L.: Acad. Press, 1964. — Vol.1. — P.379.
- Tien H.T. // J. Phys. Chem. — 1984. — Vol.88. — № 15. — P.3172-3174.
- Liquid interfaces in chemistry and biology / A.G. Volkov, D.W. Deamer, D.L. Tanelian, V.S. Markin // John Wiley & Sons, Inc. — New York, 1998. — S.551.

широко используется в анализе вод и рекомендован как стандартный для определения активного хлора в питьевой и сточных водах [5]. Измерения проводят в интервале 0,02–4,0 мг/л активного хлора.

Из представленных литературных данных следует, что одним из существенных недостатков фотометрических методов с применением индикаторов является неустойчивость образующихся продуктов. Известны работы, где титрование гипохлоритом осуществляют с использованием в качестве индикатора производных сульфофталеина (феноловый красный, хлорфеноловый красный, бромфеноловый красный, бромфеноловый синий и др.) [6]. Интересными являются спектрофотометрические методы определения  $\text{ClO}_2$  с pH-индикатором хлорфеноловым красным [7–9] и бромида с феноловым красным [3]. При pH 7 отмечено отсутствие влияния соединений активного хлора при концентрациях для свободного менее 1,19 мг/л и для связанного при концентрациях менее 5,31 мг/л [9]. Стегнером и Кольтгофом предложен простой и быстрый метод определения бромида по реакции гипобромита с феноловым красным и образованию бромфенолового синего [3]. Метод привлек наше внимание тем, что в результате реакции гипобромита с феноловым красным образуется устойчивая окисленная форма индикатора. Целью нашего исследования было изучение возможности применения производных сульфофталеина для определения содержания активного хлора в водах при использовании реакции активного хлора с  $\text{KBr}$ , а также разработка методики определения  $\text{HClO}$ ,  $\text{ClO}^-$ ,  $\text{Cl}_2$ , неорганических хлораминов фотометрированием продукта окисления хлорфенолового красного, образующегося в результате реакции с гипобромитом.

**Экспериментальная часть.** В работе использовали фотометр КФК-3. Измерение pH проводили на иономере ЭВ-74 со стеклянным (марки ЭСЛ-43-70) и хлорсеребряным электродом (марки ЭВЛ-1М3).

Модельные растворы гипохлорита натрия готовили по прописи, изложенной в работе [10].

Растворы хлорфенолового красного готовили растворением 10 мг препарата в 1 мл 0,1M  $\text{NaOH}$  и разбавлением до 100 мл,  $T=0,1$  мг/л.

Ацетатные буферные растворы готовили по прописи, изложенной в справочной литературе [11].

Раствор бромида калия 1M готовили растворением 11,9 г бромида в 100 мл дистиллированной воды.

Раствор хлорида аммония 1M готовили растворением 5,35 г вещества в 100 мл дистиллированной воды.

Растворы хлораминов получали введением при  $\text{pH}=8,4$  раствора хлорида аммония к гипохлориту при молярном соотношении  $\text{NH}_4\text{Cl}: \text{KClO}$

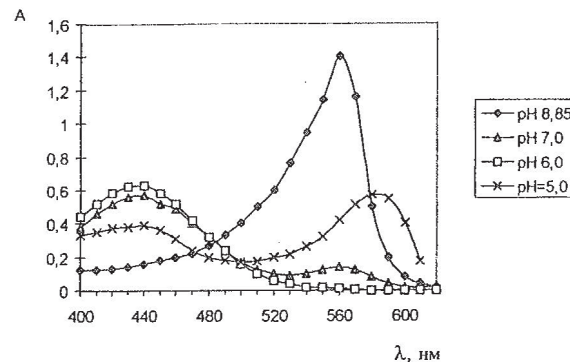
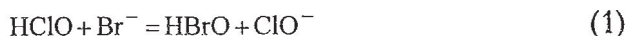


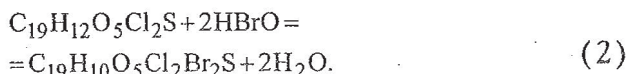
Рис. 1. Электронные спектры хлорфенолового красного: pH 8,85 (1); 7,0 (2); 6,0 (3) и бромхлорфенолового синего при pH=5,0 (4)

1:1 и  $\text{NH}_4\text{Cl}: \text{KClO}$  2:1. В работе использовали 1M раствор бромида калия.

Предлагаемый метод фотометрического определения активного хлора основывается на реакциях взаимодействия активного хлора с бромидом:



и количественного взаимодействия образующихся соединений с хлорфеноловым красным:



С целью выбора оптимальных условий индикации аналитического сигнала сняты электронные спектры поглощения хлорфенолового красного в зависимости от pH (рис. 1, кривые 1–3) и образующегося бромхлорфенолового синего (рис. 1, кривая 4). Интервал перехода окраски хлорфенолового красного находится в пределах pH от 4,8 (желтый) до pH 6,4 (пурпурный), бромхлорфеноловый синий имеет интервал перехода в пределах pH 3,0 (желтый) – pH 4,6 (синий) [12]. Для того, чтобы измерить оптическую плотность продукта при  $\lambda_{\max} = 590$  необходимо, чтобы хлорфеноловый красный находился в желтой форме, это условие реализуется при  $\text{pH} \leq 6$  ( $\lambda_{\max} = 440$ ).

На рис. 2 представлена зависимость интенсивности окраски бромхлорфенолового синего,

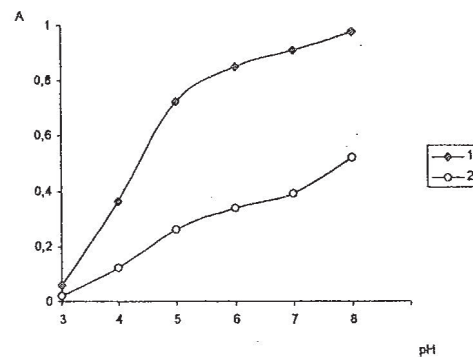


Рис. 2. Зависимость оптической плотности бромхлорфенолового синего от pH в присутствии свободного и связанного активного хлора

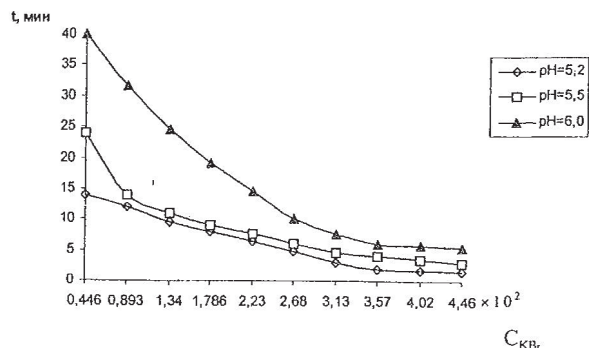


Рис. 3. Время, необходимое для установления постоянной оптической плотности, в зависимости от концентрации KBr при различных рН

образующегося в результате реакции в присутствии хлораминов (кривая 1) и гипохлорита (кривая 2), от рН. Резкое уменьшение интенсивности окраски наблюдается при рН менее 5, так как индикатор переходит в желтую форму. Следовательно, измерение оптической плотности необходимо проводить при рН в пределах 5–6.

Изучено влияние избыточного количества KBr на скорость образования продуктов реакции KBrO с хлорфеноловым красным.

Как следует из рис. 3, время, в течение которого интенсивность окраски получаемых растворов становится постоянной, уменьшается с увеличением концентрации KBr и зависит от рН. При концентрации KBr в пределах 3–5·10<sup>-2</sup> моль/л оптическая плотность (A) устанавливается в течение 10 минут для интервала концентраций активного хлора (0,2–1,0) мг/л. На основании зависимости A от соотношения [хлорфенолового красного] к [активному хлору] при  $\lambda_{max}=590$  нм можно сделать вывод, что количество образующегося продукта зависит от соотношения исходных веществ. При большом избытке активного хлора образующийся бромхлорфеноловый синий частично обесцвечивается, а при избытке хлорфенолового красного образуются промежуточные продукты.

**Результаты и их обсуждение.** Предложенный метод основан на взаимодействии хлорфенолового красного с KBrO, образующимся в

результате реакции активного хлора с KBr, позволяет количественно оценить содержание активного хлора по окраске бромхлорфенолового синего. Градуировочные графики были получены для растворов при значениях рН=5,0; 5,2; 5,5; 6,0. При рН=5,0 оптическая плотность для интервала концентраций от 0,25 до 1 мг/л изменяется в пределах от 0,06 до 0,65, а при рН=6,0 – в пределах от 0,12 до 1,04. На рис. 4 представлены градуировочные графики для определения связанного и свободного активного хлора. Закон Бера соблюдается для интервала концентраций 0,25–1,00 мг/л, кажущийся молярный коэффициент поглощения равен  $1,774 \cdot 10^4$  л·моль<sup>-1</sup>·см<sup>-1</sup> при  $\lambda_{max}=590$  нм. На рис. 5 представлены градуировочные графики с добавлением меньших количеств хлорфенолового красного ( $V=0,5$  мл) для определения концентрации активного хлора в интервале 0,1–0,4 мг/л при  $\lambda_{max}=590$  нм или при  $\lambda_{max}=440$  нм. Постоянное значение A для интервала концентраций 0–0,1 мг/л объясняется тем, что хлорфеноловый красный не реагирует с количествами активного хлора менее 0,1 мг/л. Если в растворе присутствуют соли аммония, то интенсивность окраски выше.

**Ход анализа.** Для построения градуировочного графика готовят 2·10<sup>-4</sup> н. раствор гипохлорита натрия. Отбирают пипеткой 3,0–14,5 мл раствора и разбавляют до 100 мл так, чтобы концентрация в растворах была от 0,20 до 1,02 мг/л. Концентрация активного хлора определялась классическим йодометрическим методом. В мерную колбу объемом на 200 мл добавляют 2 мл хлорфенолового красного с  $T=0,1$  мг/мл, 5 мл ацетатного буфера ( $\rho H=6,0$ ), 100 мл полученного раствора гипохлорита и 5 мл 1M раствора бромида калия. Измеряют оптическую плотность при  $\lambda=590$  нм через 10 минут, длина кюветы 5 см. Струят градуировочный график.

Затем повторяют аналогичную процедуру с исследуемым раствором (объем раствора – 100 мл). Содержание активного хлора находят по градуировочному графику. Результаты оценки воспроизведимости методики представлены в таблице.

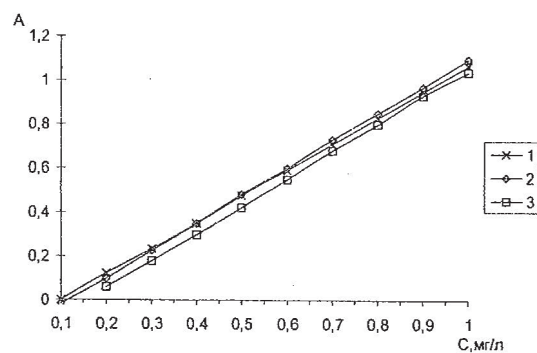


Рис. 4. Градуировочные графики, полученные при молярном соотношении  $\text{NH}_4\text{Cl} : \text{KClO}$  (2:1) (1);  $\text{NH}_4\text{Cl} : \text{KClO}$  (1:1) (2) и для определения свободного активного хлора (3) при  $\rho H=6,0$

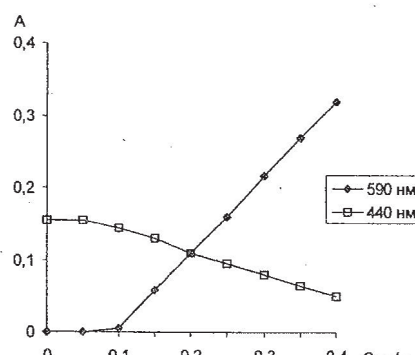


Рис. 5. Градуировочные графики для определения свободного активного хлора в интервале концентраций 0,1–0,4 мг/л при  $\rho H=6,0$